

## Rechnernutzung in der Physik

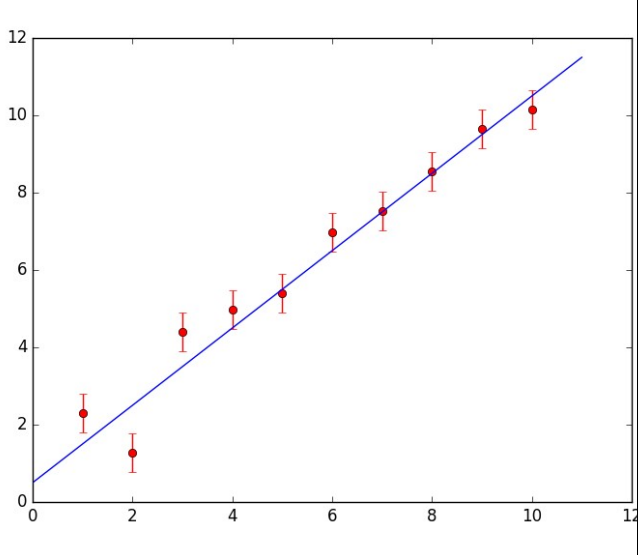
**Vorlesung 03b: Monte Carlo-Methode:** Beispiele und Anwendungen

Günter Quast

Fakultät für Physik Institut für ExperimentelleTeilchenphysik WS 2023/24





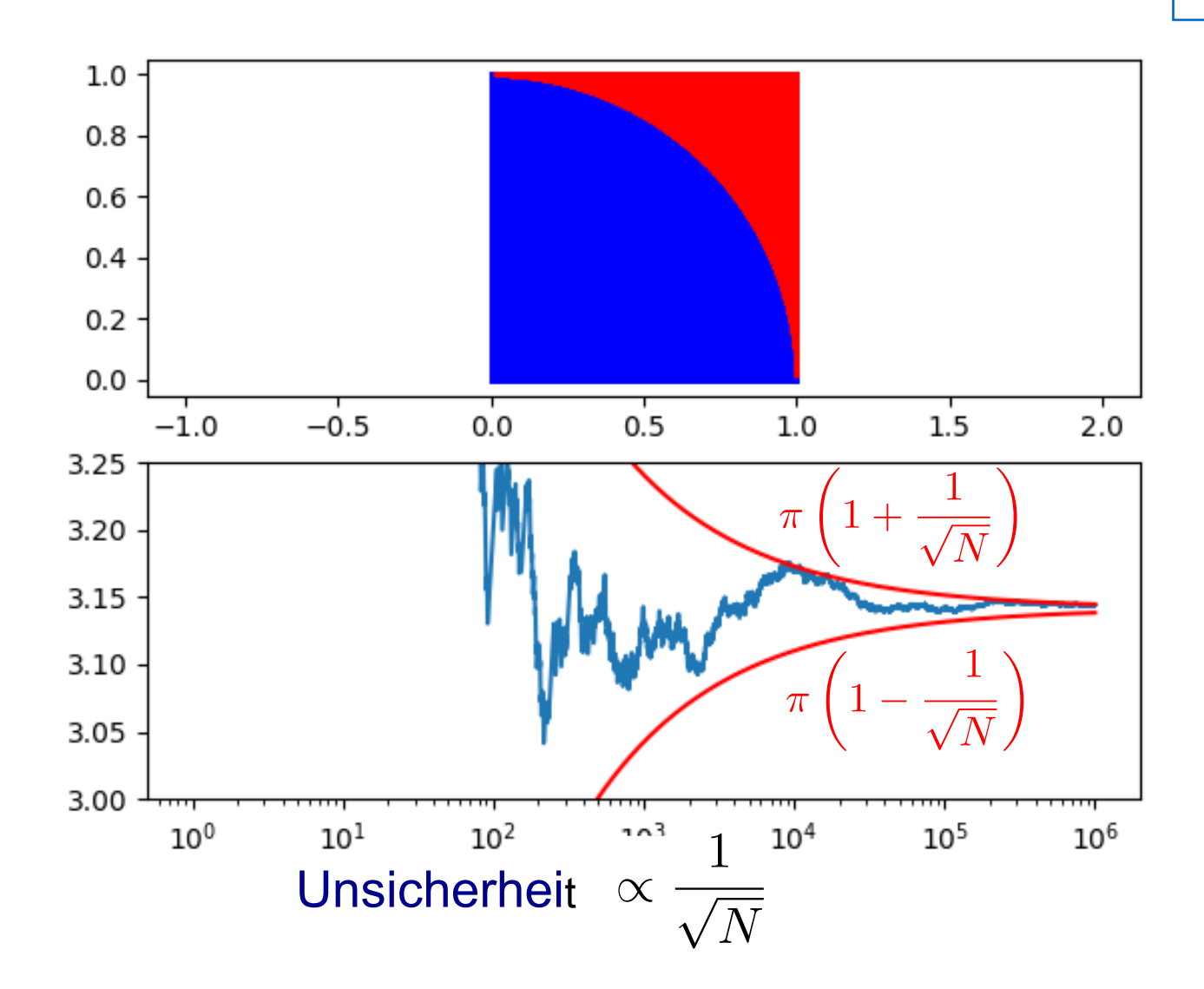


# Beispiele

### **Einfache MC-Integration**

Kreisfläche mittels einfachem Rückweisungsverfahren:

Scripte: animate\_pi.py calc\_pi.py



### Anwendungsbeispiel: 2d-Verteilung aus Bild

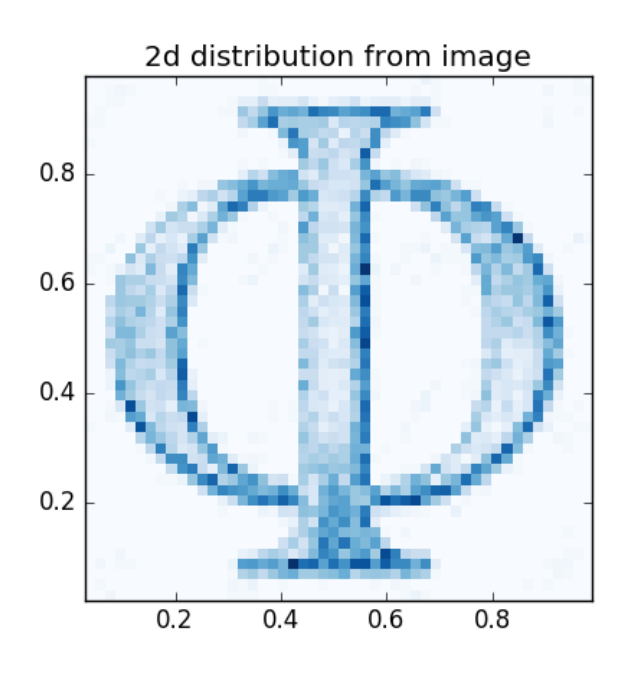
Auch aus Histogrammen lassen sich Stichproben erzeugen, die gemäß der vorgegebenen Häufigkeit verteilt sind.

Hier ein Beispiel, bei dem die Wahrscheinlichkeit der Helligkeit eines Pixels in einem Bild entspricht:

```
#open an image
img=Image.open('image.jpg')
# img.show()
print "image size:", img.size[0], img.size[1]
pix=img.load()
def rand_fromImage():
 # return pixel coordinate with a probability
      proportional to brightness of the pixel
  r0=np.random.uniform()
  r1=np.random.uniform()
  i=int(img.size[0] * r0 - 0.5)
  j=img.size[1] -1 - int(img.size[1] * r1 - 0.5)
  r,g,b = pix[i,j]  # brightness of pixel
  if(3*255*np.random.uniform() > r+b+g):
    return r0, r1
                                Rückweisungs-Schritt
```







### **Transformationsmethode**

Welche Transformation t( u )
angewendet auf gleichverteilte Zufallszahlen u aus ]0, 1]
liefert Zufallszahlen x,
die der gewünschten Verteilung f(x) folgen ?

### Lösung:

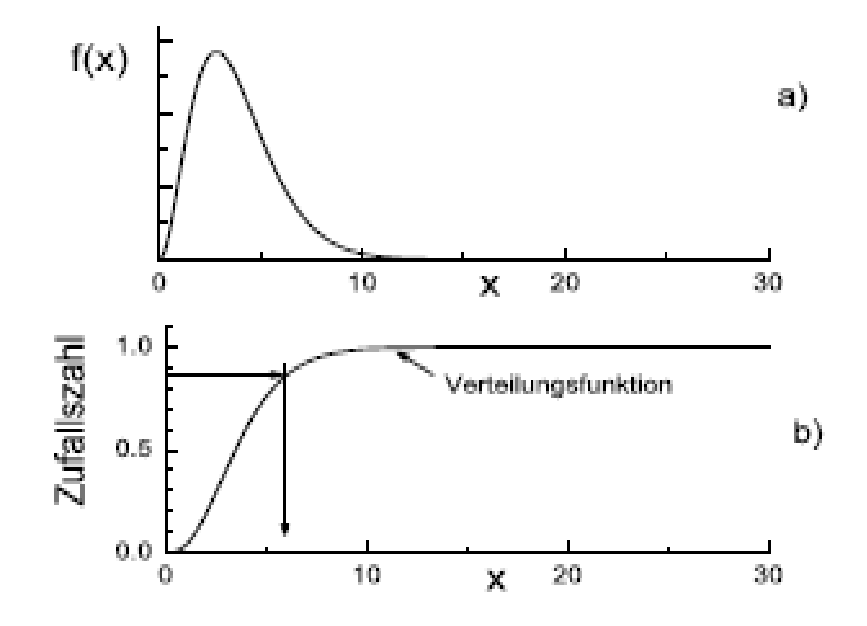
Umkehrfunktion der Verteilungsfunktion von f(x)

$$t() = F^{-1}()$$

$$\text{mit } F(x) = \int_{-\infty}^{x} f(x')dx'$$

$$x = t(u) = F^{-1}(u)$$





### **Beispiel Transformationsmethode**

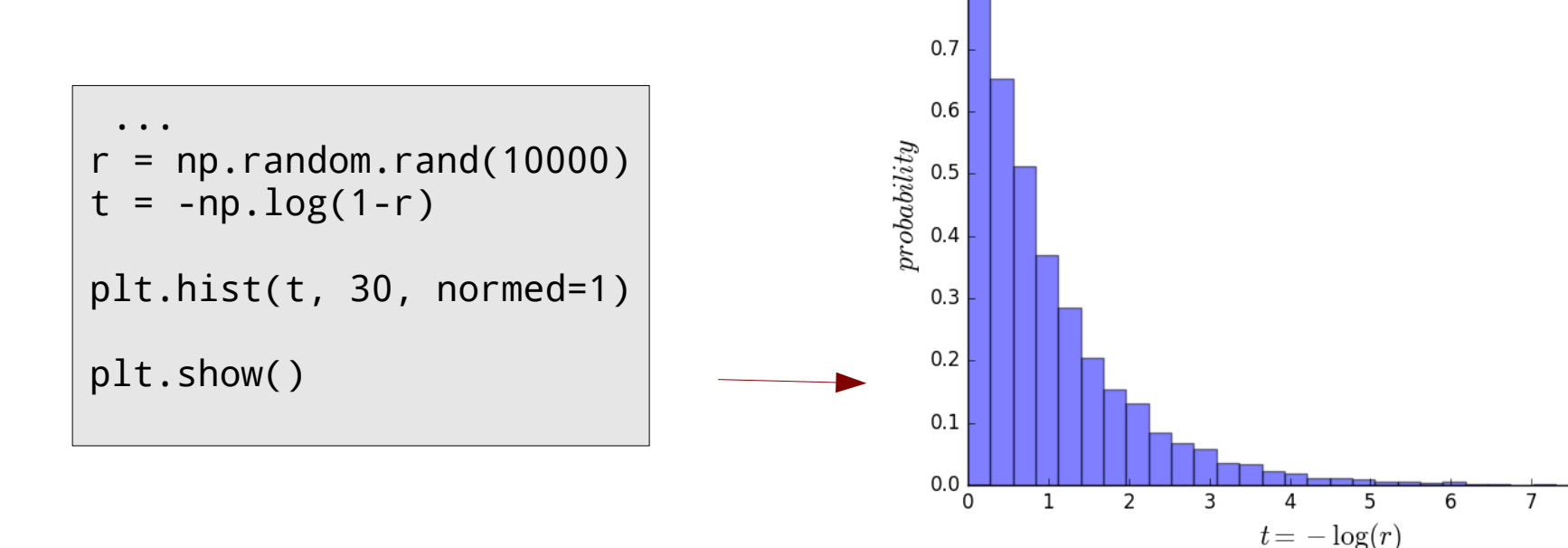
0.9

0.8

### **Computerexperiment:**

#### Häufigkeitsverteilung von

$$t = -\log(1-r), r \text{ Zufallszahl } \in [0,1]$$



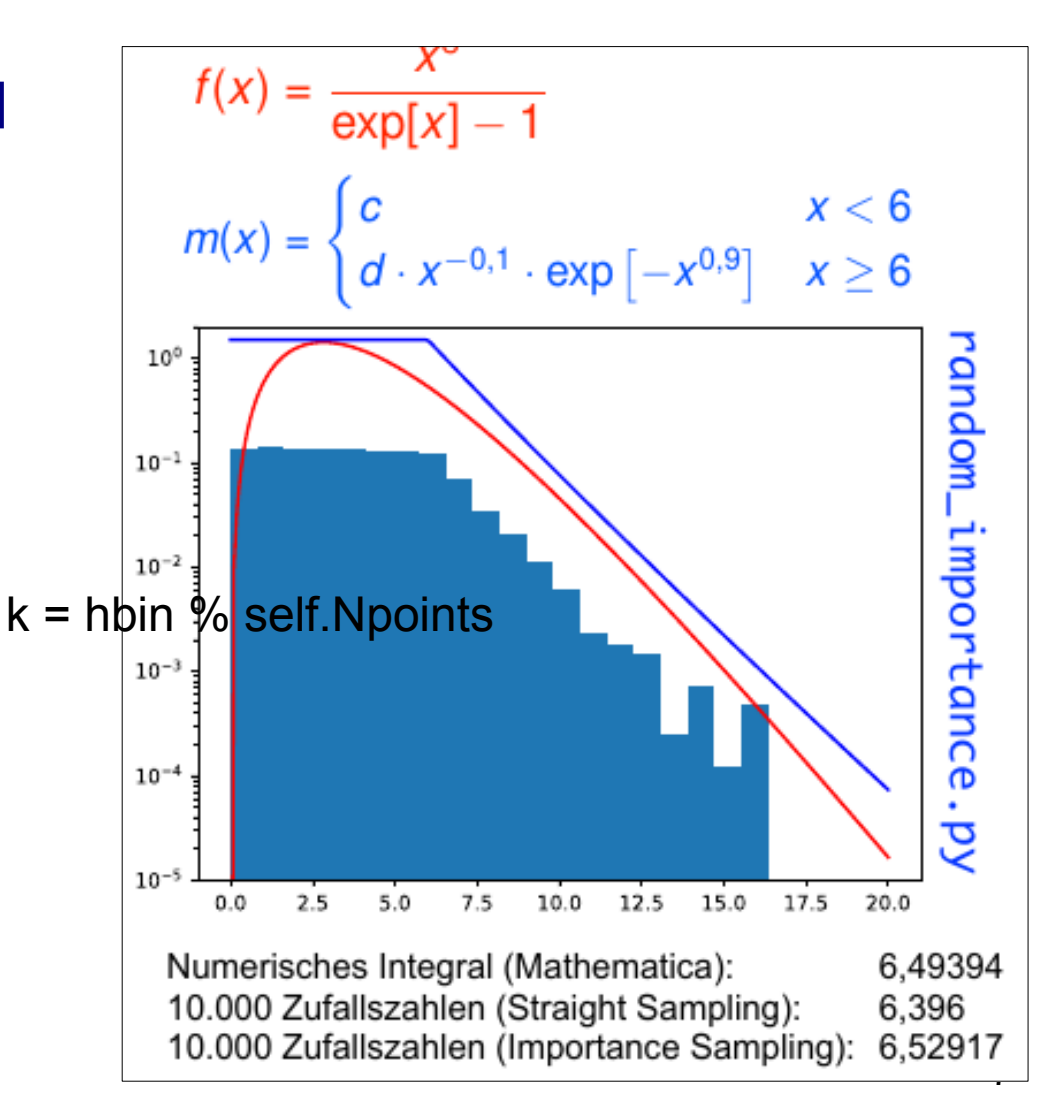
Wir erhalten exponentiell verteilte Zufallszahlen *t*!

### **Beispiel Majorantenmethode**

Verbesserte "Wegwerfmethode":

Wenn eine Funktion m(x) mit m(x) > f(x) für alle x existiert und  $x=M^{-1}(r)$  hinreichend leicht bestimmbar ist (d.h.Stammfunktion von m ist invertierbar)

- generiere  $x_i=M^{-1}(r_{2i})$  und eine weitere Zufallszahl  $r_{2i+1} \in [0,1]$
- akzeptiere xi, wenn
   r2i+1 · m(x) < f(x) ist</li>
   (für jeden Wert von x wird nur ein Bruchteil (m(x) f(x)) / f(x) der x-Werte verworfen)
- → Die akzeptierten Werte von x sind gemäß f(x) verteilt.



### **Zusammenfassung Vorbereitungsmaterial**

### **Allgemeine Bemerkung:**

mit etwas Überlegung können numerische Verfahren effizienter gemacht werden (denken Sie z. B. auch an den CO2-Fußabdruck der Rechnung!)

### Beispiel gaußverteilte Zufallszahlen

Problem: ∫ exp(-x²) dx nur numerisch bestimmbar

(in C, C++, scipy über die Funktion 
$$\operatorname{erf}(x) = \frac{2}{\pi} \int_0^x e^{-t^2} dt$$
 verfügbar)

Gauß-Funktion in 2 Dimensionen in Polarkoordinaten analytisch integrierbar:

$$\varphi(x,\mu,\sigma) = \frac{1}{\sqrt{2\pi\sigma^2}} e^{-\frac{1}{2\sigma^2}(x-\mu)^2} \quad \text{(gewünschte Wahrscheinlichkeitsdichte)}$$

o.B.d.A. setzen wir  $\mu = 0$ . Das Integral von  $\varphi$  lässt sich in 2d analytisch lösen:

$$Q(R) = \int \frac{1}{2\pi\sigma^2} e^{-\frac{1}{2\sigma^2} (x_1^2 + x_2^2)} dx_1 dx_2 = \frac{1}{2\pi\sigma^2} \int_0^{2\pi} d\phi \int_0^R e^{-\frac{r^2}{2\sigma^2}} r dr;$$

mit: 
$$r = \sqrt{x_1^2 + x_2^2}$$
;  $dr^2 = 2 r dr$ 

$$Q(R) = \frac{1}{2\pi\sigma^2} \int_{0}^{2\pi} d\phi \int_{0}^{R} e^{-\frac{r^2}{2\sigma^2}} r \, dr = \frac{1}{\sigma^2} \int_{0}^{R} e^{-\frac{r^2}{2\sigma^2}} \frac{dr^2}{2} = \frac{1}{\sigma^2} \left[ -\sigma^2 e^{-\frac{r^2}{2\sigma^2}} \right]_{0}^{R} = \left( 1 - e^{-\frac{R^2}{2\sigma^2}} \right)$$

Verteilungsfunktion des Radialteils lässt sich nach R auflösen – d.h. können Transformationsmethode anwenden!

### Beispiel gaußverteilte Zufallszahlen (2)

Umkehrfunktion (in 2d) für  $u \in U_{[0,1]}$ :

$$u(R) = \left(1 - e^{-\frac{R^2}{2\sigma^2}}\right) = \mathcal{Q}(R)$$

$$R(u) = \sqrt{-2\sigma^2 \ln(1 - u)} \equiv \sqrt{-2\ln(u)} \cdot \sigma = \mathcal{Q}^{-1}(u)$$

Wählen Sie  $u \in U_{[0,1]}$  und  $\phi \in U_{[0,2\pi]}$  gleichverteilt erhalten Sie zwei voneinander unabhängige normalverteilte Zufallszahlen:

$$x_1 = \sqrt{-2\ln(u)} \cdot \sigma \cos \phi$$
$$x_2 = \sqrt{-2\ln(u)} \cdot \sigma \sin \phi$$

Verschiebung um  $\mu$  erfolgt über  $x_i \to x_i' = x_i - \mu$ 

Erzeuge zwei gleichverteilte Zufallszahlen  $u1, u2 \in ]0,1]$ , setze  $x_1 = \sqrt{(-2\ln u_1)\cos(2\pi u_2)}$   $x_2 = \sqrt{(-2\ln u_1)\sin(2\pi u_2)}$ ,

x1 und x2 sind standard-normalverteilt

(Beispiel für die Kombination aus Transformations- und Rückweisungsverfahren)

# Trigonometrische Funktionen sind numerisch aufwändig, ein etwas effizienteres Verfahren geht so:

- 1. erzeuge zwei gleichverteilte Zufallszahlen  $u_1, u_2 \in [0,1[$  setze  $v_1:=2u_1$ -1,  $v_2:=2u_2$ -1
- 2.  $v^2=v_1^2+v_2^2$
- 3. falls  $v^2 \ge 1 \rightarrow gehe zu 1$  (Rückweisungsschritt) (akzeptierte Werte von  $v_1$ ,  $v_2$  gleichverteilt innerhalb des Einheitskreises)
- 4.  $z_1 = v_1 \sqrt{(-2 \ln(v^2)/v^2)}$  $z_2 = v_2 \sqrt{(-2 \ln(v^2)/v^2)}$
- z1 und z2 sind dann unabhängig voneinander standard-normalverteilt

Normalverteilte Zufallszahlen mit Erwartungwert  $\mu$  und Standardabweichung  $\sigma$  erhält man durch die Transformation  $x = \sigma z + \mu$ 

### Erzeugung korrelierter, gaußverteilter Zufallszahlen

Gaußverteilung in n Dimensionen: 
$$G(\vec{x}; \vec{x}_0, V) = \frac{1}{(2\pi)^{\frac{n}{2}} |V|^{\frac{1}{2}}} \cdot \exp\{-\frac{1}{2}(\vec{x} - \vec{x}_0)^T V^{-1}(\vec{x} - \vec{x}_0)\}$$

x<sub>0</sub>: n Erwartungswerte

V: Kovarianz-Matrix mit (n²+n)/2 unabhängigen Parametern | V | =det V ist die Determinante von V

Sei B = V-1, schreibe B als Produkt aus **Dreiecksmatrizen:** B = D<sup>T</sup> D ("Cholesky-Zerlegung")

Setzte dann 
$$\vec{u} = D(\vec{x} - \vec{x_0})$$
 =>  $G(\vec{x}; \vec{x_0}, V) = \frac{1}{(2\pi)^{\frac{n}{2}} |V|^{\frac{1}{2}}} \cdot \exp\{-\frac{1}{2}(\vec{u}^T \vec{u})\}$ 

Das ist die Verteilung von n unkorrelierten , Gauß-verteilten Zufallszahlen u

Damit ist die Vorgehensweise klar:

- 1. würfle n unabhängige Gauß-verteilte Zufallszahlen u
- 2. transformiere Vektor **u**:  $\vec{x} = D^{-1}\vec{u} + \vec{x_0}$

### Zwischenrechnung für zwei Dimensionen

### Cholesky-Zerlegung:

$$V^{-1}=D^TD$$
 mit  $D_{21}$ =0  $D^{-1}D=1$ 

$$V = egin{pmatrix} \sigma_1^2 & 
ho\,\sigma_1\sigma_2 \ 
ho\,\sigma_1\sigma_2 & \sigma_2^2 \end{pmatrix}$$

$$V^{-1} = \frac{1}{\sigma_1^2 \sigma_2^2 (1 - \rho^2)}$$

$$\times \begin{pmatrix} \sigma_2^2 & -\rho \ \sigma_1 \sigma_2 \\ -\rho \sigma_1 \sigma_2 & \sigma_1^2 \end{pmatrix}$$

$$D = \begin{pmatrix} 1/\sigma_1 & 0\\ \frac{-\rho}{\sigma_1 \sqrt{1-\rho^2}} & \frac{1}{\sigma_2 \sqrt{1-\rho^2}} \end{pmatrix}$$

$$D^T = \begin{pmatrix} 1/\sigma_1 & \frac{-\rho}{\sigma_1 \sqrt{1-\rho^2}} \\ 0 & \frac{1}{\sigma_2 \sqrt{1-\rho^2}} \end{pmatrix}$$

$$D^{-1} = \begin{pmatrix} \sigma_1 & 0 \\ \rho \sigma_2 & \sigma_2 \sqrt{1 - \rho^2} \end{pmatrix}$$

### Verfahren zur Varianzreduktion

• Subtraktion eines analytisch lösbaren Funktionsanteils f(x)

$$\int_{a}^{b} g(x)dx = \int_{a}^{b} f(x)dx + \int_{a}^{b} |g(x) - f(x)|dx$$

- Stratified Sampling ("geschichtete" Stichprobe)
  - Hohe (niedrige) Ereignisrate in Bereichen von hohem (niedrigem)
     Interesse (z.B. in der Nähe von Singularitäten und in Ausläufern)
- Integration für eine leicht modifizierte Funktion  $g_m(x_i)$ 
  - Verwende Gewichte  $w_i = g_m(x_i)/g(x_i)$  zur Berechnung

$$I' = \int g_m(x) dx pprox rac{b-a}{n} \sum g_m(x_i) = rac{b-a}{n} \sum g(x_i) w_i$$

- wird in der Teilchenphysik extrem häufig verwendet, z.B. Abschätzung der Auswirkung systematischer Unsicherheiten auf das Endergebnis
- funktioniert auch mit negativen Gewichten

#### **Markov-Chain Monte Carlo**

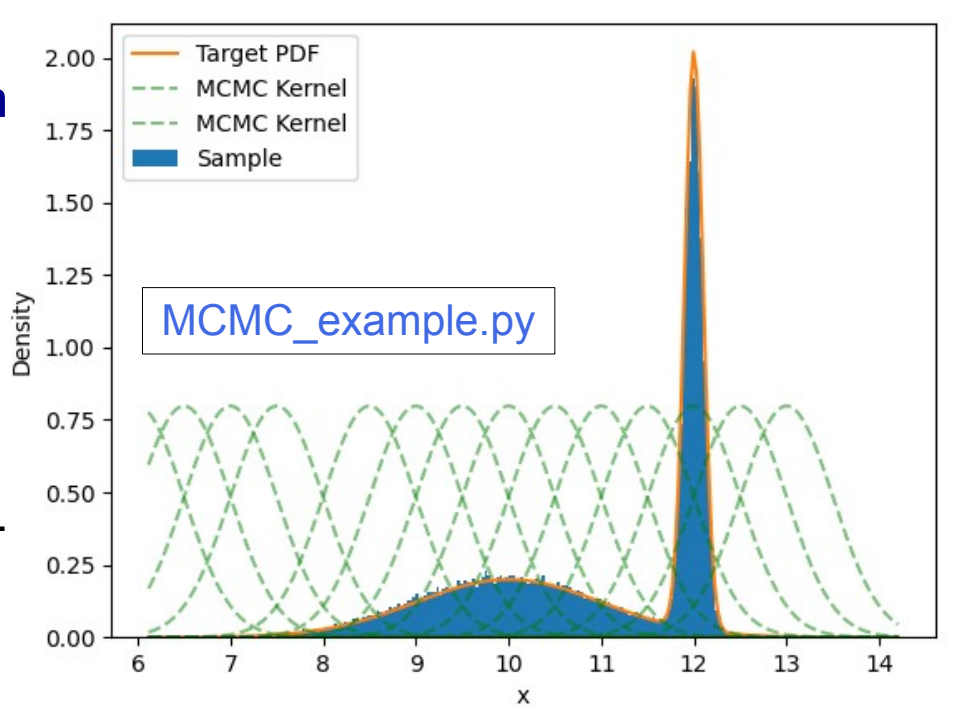
# Effizientes Verfahren zur Integration in hochdimensionalen Räumen

#### Markov-Kette:

Zufallszahl  $z_{i+1} = f(z_i)$ 

#### **Markov-Chain Monte Carlo:**

vorgeschlagen 1953 von Metropolis et al.



Markov-Kette als Stichprobe aus einer Wahrscheinlichkeitsdiche-Verteilung; Wahl des nächsten Stichproben-Punktes erfolgt aus einer lokalisierten, im Stichprobenraum verschiebbaren Verteilungsdichte ("MCMC Kernel"). Punkte mit höheren Werten der Zielverteilung  $f(z_{i+1}) > f(z_i)$  werden immer akzeptiert, Werte mit  $f(z_{i+1}) < f(z_i)$  werden nur mit einer gewissen Wahrscheinlichkeit akzeptiert.

Stichprobe der Kette sind nach einer Burn-in-Phase produzierte Werte

### Markov-Chain Monte Carlo: einfacher Python Code

Mit gewisser Wahrscheinlichkeit akzeptierte Zufallsbewegungen ("random walk").

#### Code für den Metropolis-Hastings Algorithmus

#### **Algorithmus:**

- 1. wähle anfänglichen Wert x<sub>I</sub> für i=0
  - 2. berechne  $\mathcal{L}(x) = \text{TargetPDF}(x_i)$
  - 3. ziehe neues x aus KernelPDF( $x_i$ )
  - 4. wenn  $\mathcal{L}(x) / \mathcal{L}(x_i) < z = rand[0,1]$ akzeptiere und speichere x als  $x_{i+1}$ ,
    - sonst behalte x als xi+1
  - 5. gehe zu 2., bis Anzahl Werte erreicht

```
def mcmc_updater(curr_state,
                   curr likeli,
                   target_pdf,
                   proposal_distribution
  """ Propose a new state and compare the likelihoods
  global Nupd # count number of state updates
  # Generate a proposal state using the proposal distribution
  # Proposal state == new guess state to be compared to current
  proposal state = proposal distribution(curr state)
  # Calculate the acceptance criterion
  prop_likeli = target_pdf(proposal_state)
  accept crit = prop likeli / curr likeli
  # Generate a random number between 0 and 1
  accept threshold = np.random.uniform(0, 1)
  # If the acceptance criterion > random number,
  # accept the proposal state as the current state
  if accept_crit > accept_threshold:
    return proposal_state, prop_likeli
  return curr state, curr likeli
```

Quelle: J. Fraine, https://exowanderer.medium.com/metropolis-hastings-mcmc-from-scratch-in-python-c21e53c485b7

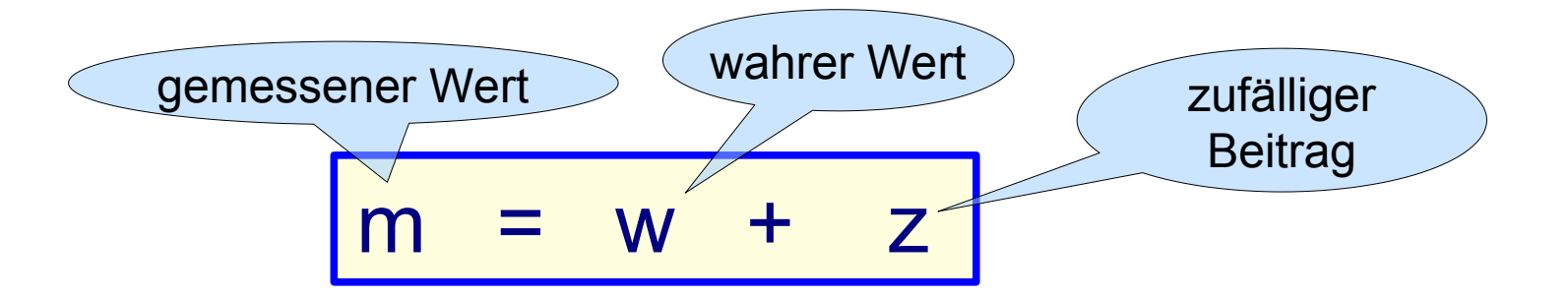
### Markov-Chain Monte Carlo: Anmerkungen

- Unabhängigkeit vom Startwert erst nach einer "burn-in"-Phase!
- Vollständige Überdeckung des geamten Stichprobenraums nicht garantiert
  - → mehrere Ketten an verschiedenen Stellen starten
- Mit MCMC produzierte, aufeinanderfolgende Werte sind stark korreliert ok für Integration, nicht verwendbar für viele andere Anwendungen
- Das Verfahren ist numerisch hocheffizient!
   In hochdimensionalen Räumen vielfach angewandt, insb. auch beim maschinellen Lernen

### Simulierte Daten

### Simulierte Daten

Zufallskomponente z bei der Gewinnung empirischer Daten ebenfalls mit Zufallszahlen modellierbar:



Funktion (=Modell) des wahren Wertes, y = f(x), und Modellierung der Messwerte mit MC:

$$m_y = f(w_x + z_x) + z_y$$

z<sub>x</sub> und z<sub>y</sub> entsprechen den Unsicherheiten der Messgrößen x und y

Bei mehreren Messungen mi können

- -- die zi unabhängig oder auch
- -- untereinander korreliert sein!

### **Arten von Unsicherheiten**

- unkorrelierte (statistische) Unsicherheiten
   Ablesegenaugkeit, Rauschen, Quanteneffeke, ...
- absolute korrelierte Unsicherheiten apparative Offsets, ...
- relative statistische oder korrelierte Unsicherheiten bezogen auf den
  - beobachteten Wert eher selten (Achtung: Verzerrung bei Anpassungen!)
  - oder den wahren Wert
     Poissionstatistik, Kalibrationsunsicherheiten (praktisch alle Messgeräte!)
- bei der Überprüfung von funktionalen Zusammenhängen  $y_i = f(x_i)$  sind im Regelfall sowohl die  $y_i$  als auch die  $x_i$  mit Unsicherheiten behaftet!

$$\Rightarrow z = z_s \oplus z_{\text{abs}} \oplus z_{\text{rel,b}} \oplus z_{\text{rel,w}}$$
$$z^x = z_s^x \oplus z_{\text{abs}}^x \oplus z_{\text{rel,b}}^x \oplus z_{\text{rel,w}}^x$$

Insgesamt 8 Arten von Unsicherheiten zu berücksichtigen!

Bereich Multimeter A DC	Genauigkeit	Auflösung
200 mV	±(0,5% + 8)	0,1 mV
2000 mV		1 mV
20 V		0,01 V
200 V		0,1 V
250 V	±(0,8% + 8)	1 V

#### **Simulation von Messdaten**

### Zur Überprüfung der Qualität von Analyseverfahren

oder zur Erstellung und Test von Analyse-Software parallel zum Experimentaufbau werden **Simulationen der erwarteten Daten** eingesetzt.

#### Vorgehensweise:

- 1. Berechnung der "wahren" Werte
- 2. Einfaches Fehlermodell ("Toy-Monte Carlo") oder detaillierte Simulation der erwarteten Detektorantworten auf ein Signal
- wahre Werte mit den auf Grund der Detektorauflösung erwarteten Unsicherheiten verschmieren.

$$m_i = w_i + \sum_{\zeta} z_{i,\zeta}$$

ζ: Index der Zufallseffekte

• Unabhängige Effeke: je eine Zufallszahl für jedes  $i, \zeta$ 

• korrelierte Effekte: eine Zufallszahl  $z_{\zeta}$  für die betroffenen Indizes i

#### Aus Vorbereitungsmaterial:

das entspricht der Auswertung eines komplexen Faltungsintegrals mit MC

### Beispiel: Toy-MC für Physikalische Praktika

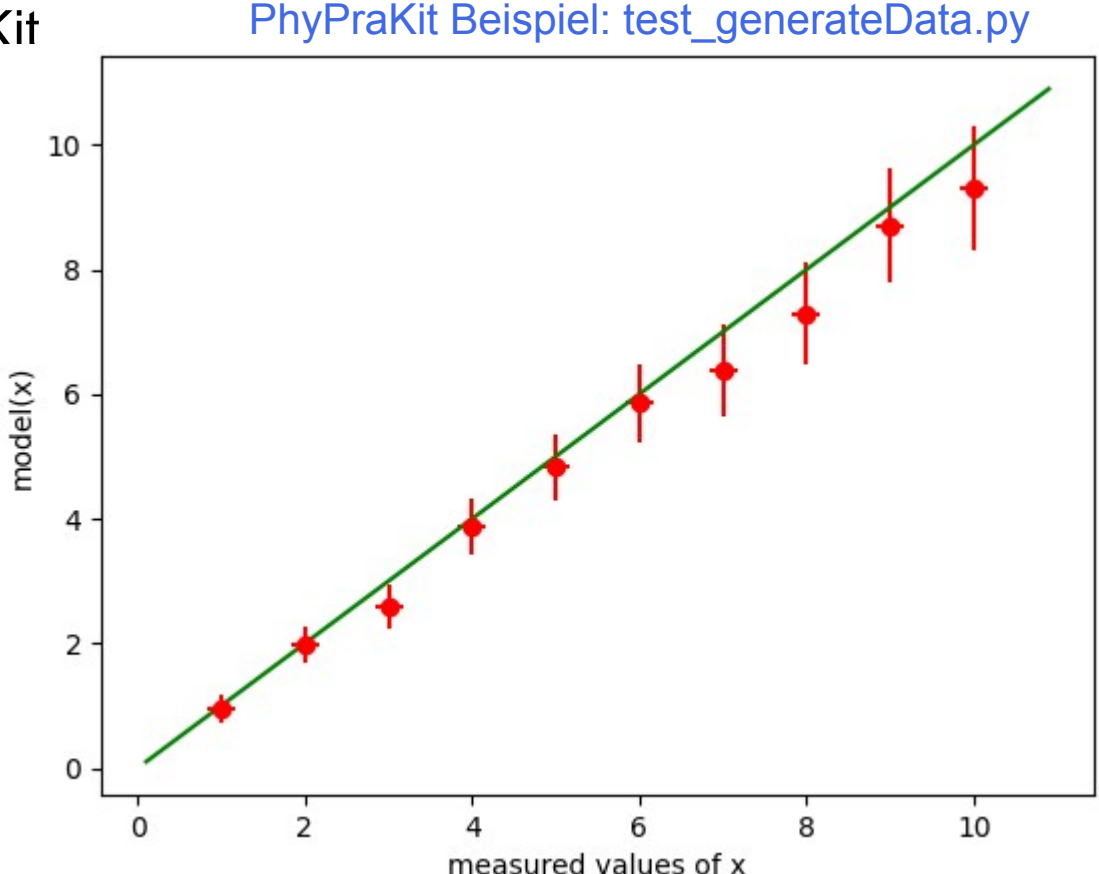
Annahme rein Gauß-förmiger Unsicherheiten, die auf Eingabedaten addiert werden ("Smearing")

Implementiert im Paket PhyPraKit

Funktionen

smearData() Addieren von zufällige Unsicherheiten auf Eingabedaten und

generateXYdata() Erzeugen
simulierter Datenpunkte
 (x+Delta\_x, y+Delta\_y)



### **Implementierung in PhyPraKit**

PhyPraKit.smearData(d, s, srel=None, abscor=None, relcor=None)

Generate measurement data from "true" input by adding random deviations according to the uncertainties

#### Args:

· d: np-array, (true) input data

#### the following are single floats or arrays of length of array d

- · s: Gaussian uncertainty(ies) (absolute)
- · srel: Gaussian uncertainties (relative)

#### the following are common (correlated) systematic uncertainties

- abscor: Id np-array of floats or list of np-arrays: absolute correlated uncertainties
- relcor: 1d np-array of floats or list of np-arrays: relative correlated uncertainties

#### Returns:

np-array of floats: dm, smeared (=measured) data

#### PhyPraKit.ustring(v, e, pe=2)

v +/- e as formatted string with number of significant digits corresponding to precision pe of uncertainty

#### Args:

- · v: value
- · e: uncertainty
- · pe: precision (=number of significant digits) of uncertainty

#### Returns:

· string: <v> +/- <e> with appropriate number of digits

### **Implementierung in PhyPraKit**

PhyPraKit.generateXYdata(xdata, model, sx, sy, mpar=None, srelx=None, srely=None, xabscor=None, yabscor=None, xrelcor=None, yrelcor=None)

Generate measurement data according to some model assumes xdata is measured within the given uncertainties; the model function is evaluated at the assumed "true" values xtrue, and a sample of simulated measurements is obtained by adding random deviations according to the uncertainties given as arguments.

#### Args:

- · xdata: np-array, x-data (independent data)
- · model: function that returns (true) model data (y-dat) for input x
- · mpar: list of parameters for model (if any)

#### the following are single floats or arrays of length of x

- · sx: gaussian uncertainty(ies) on x
- · sy: gaussian uncertainty(ies) on y
- srelx: relative Gaussian uncertainty(ies) on x
- srely: relative Gaussian uncertainty(ies) on y

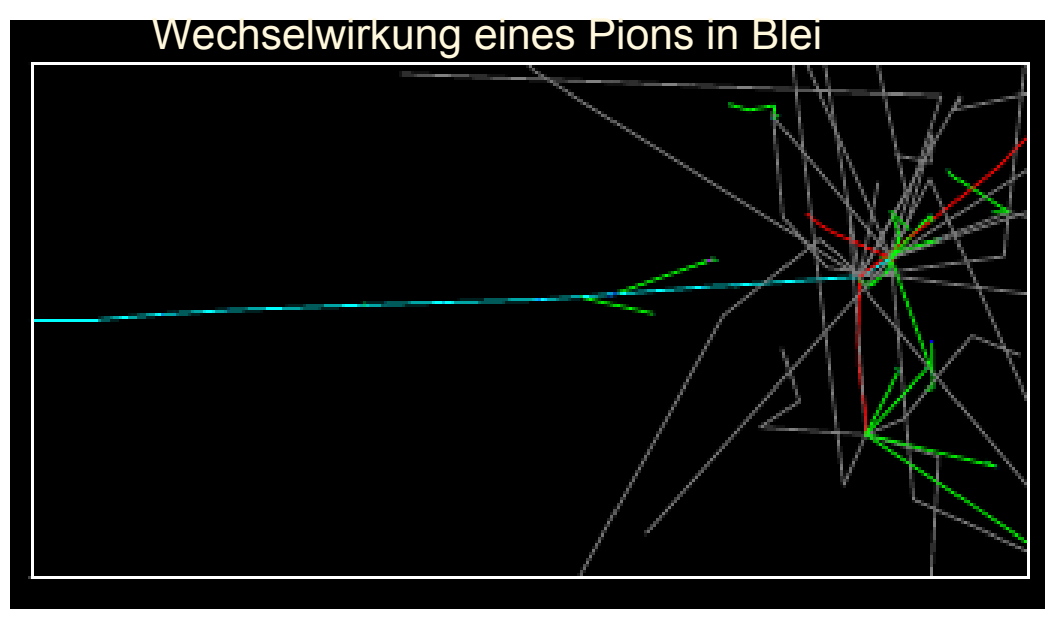
#### the following are common (correlated) systematic uncertainties

- · xabscor: absolute, correlated error on x
- · yabscor: absolute, correlated error on y
- xrelcor: relative, correlated error on x
- · yrelcor: relative, correlated error on y

#### Returns:

- · np-arrays of floats:
  - xtrue: true x-values
  - ytrue: true value = model(xtrue)
  - ydata: simulated data

### Beispiel: Wechselwirkung von Strahlung mit Materie



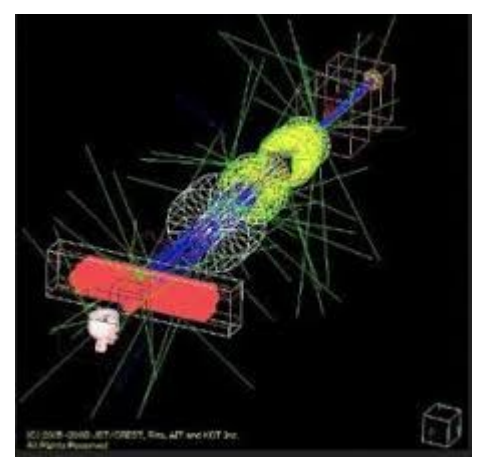
#### **Methode:**

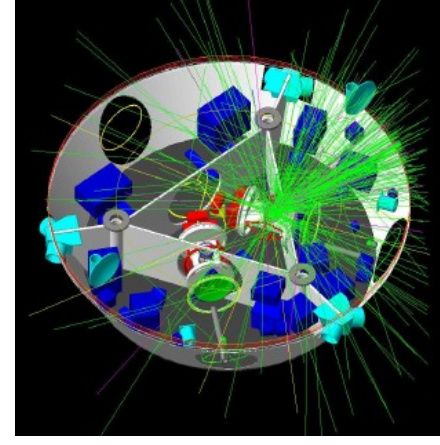
- Verfolgen von Teilchen und aller produzierten Sekundärteilchen durch Materie
- Bestimmung der Energiedeposition in allen Detektorelementen
- Umwandlung in elektrisches
   Signal ("mV in detector cell")

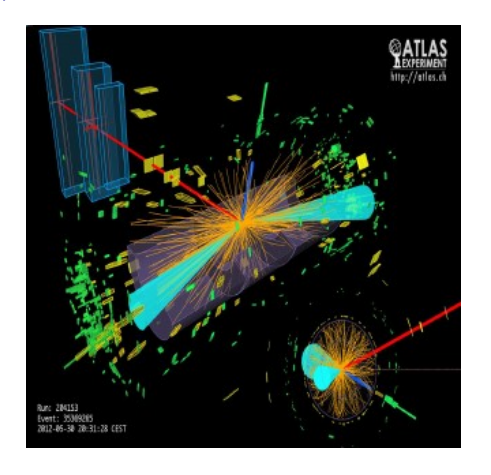
#### z.B. Programmpaket

**GEANT4 - A Simulation Toolkit** 

Anwendungen in Medizin, Raumfahrt, Kern-, Teilchen- und Astroteilchenphysik

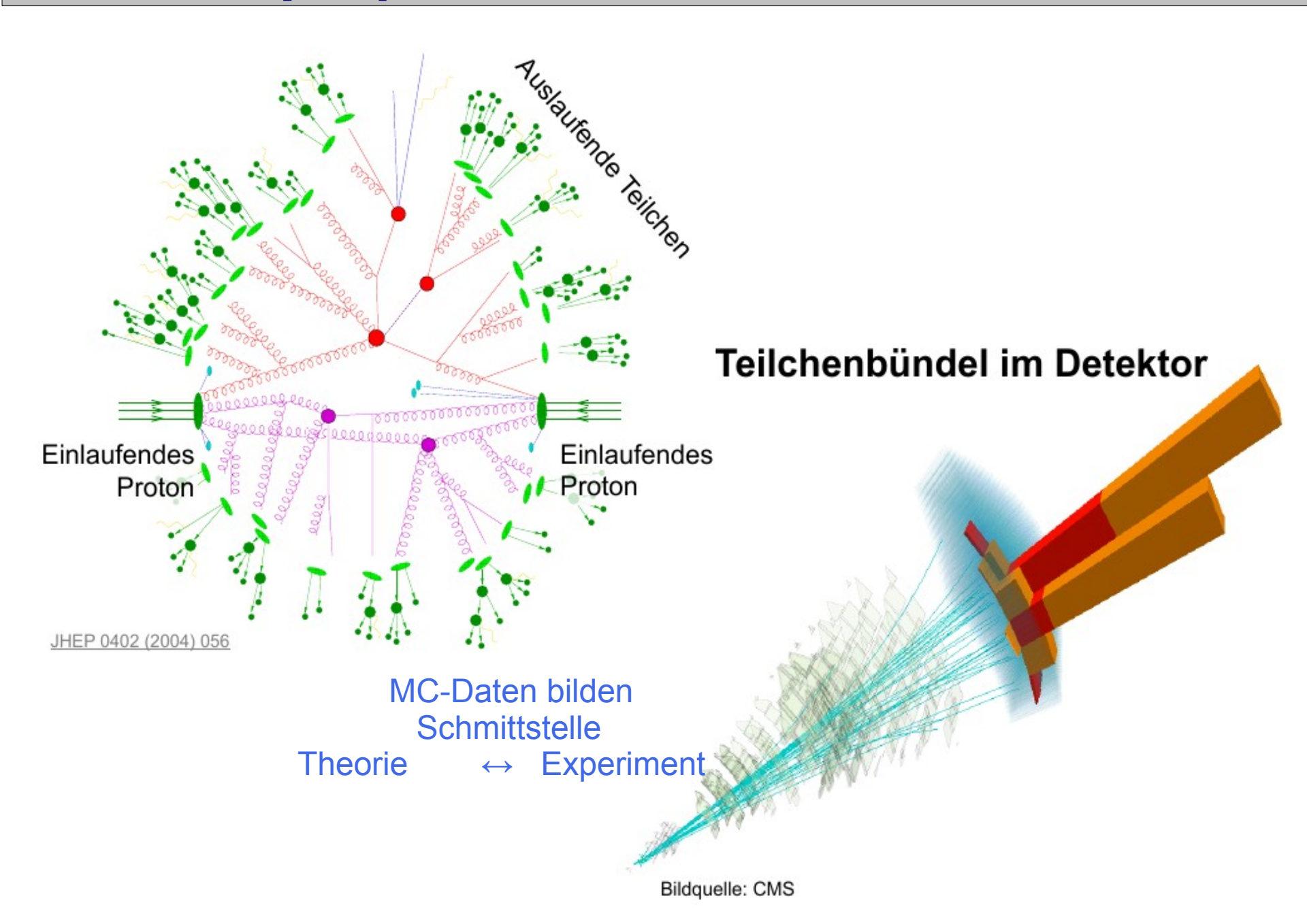








### **Physikprozess und Detektorantwort**



### **Monte Carlo-Anwendungen**

Monte Carlo Methoden werden in praktisch allen Gebieten der Physik und auch in anderen Forschungsfeldern angewandt.

Als Integrationsmethode in numerischen Werkzeugen, beim Ersatz fehlender Detailinformation durch statistische Modelle, in allen Gebieten der Quantenphysik, in Wettervorhersage und Klimamodellierung, in den Wirtschaftswissenschaften, ...

### Formelsammlung Transofrmationsmethode

### Beispiele Transformationsmethode

#### **Dreieck-Verteilung**

$$\begin{array}{rcl} g(t) & = & 2t, \ 0 \le t \le 1 \\ t(r) & = & \sqrt{r} \end{array}$$

$$g(t) = (n+1) t^n, 0 \le t \le 1, n > -1$$
  
 $t(r) = r^{1/(n+1)}$ 

### Exponentialverteilung

$$g(t) = \gamma e^{-\gamma t}$$
  

$$t(r) = -\frac{1}{\gamma} \ln(1-r)$$

### Log-Weibull -Verteilung

$$\begin{aligned}
 y(x) &= e \\
 x &= -\ln(-\ln r)
 \end{aligned}$$

#### Breit-Wigner-Verteilung

$$f(x) = \frac{1}{\pi \Gamma/2} \frac{(\Gamma/2)^2}{x^2 + (\Gamma/2)^2}$$
$$x(r) = \frac{\Gamma}{2} \tan \left[ \pi (r - \frac{1}{2}) \right]$$

#### Paar von Gauß-verteilten Zahlen

$$f(x,y) = \frac{1}{2\pi} \exp\left[-\frac{x^2 + y^2}{2}\right]$$

$$x(r_1, r_2) = \sqrt{-2\ln(r_1 - 1)} \cos(2\pi r_2)$$

$$y(r_1, r_2) = \sqrt{-2\ln(r_1 - 1)} \sin(2\pi r_2)$$

#### Anm.:

1-*r* kann durch *r* ersetzt werden

# Vorbereitung VL04 Parameterschätzung

### Vorbereitung VL04: Parameterschätzung

Vorbereitendes Material anschauen:
 V04a\_ParameterSchaetzung (Folien und Kurzvideos)